



# Nello spazio in tre

## Le missioni spaziali e il problema dei tre corpi

prof.ssa Amalia Ercoli-Finzi e ing. Francesco Topputo

*Dipartimento di Ingegneria Aerospaziale*

*Politecnico di Milano*

Dipartimento di matematica “F. Brioschi” - Politecnico di Milano

18 Aprile 2007

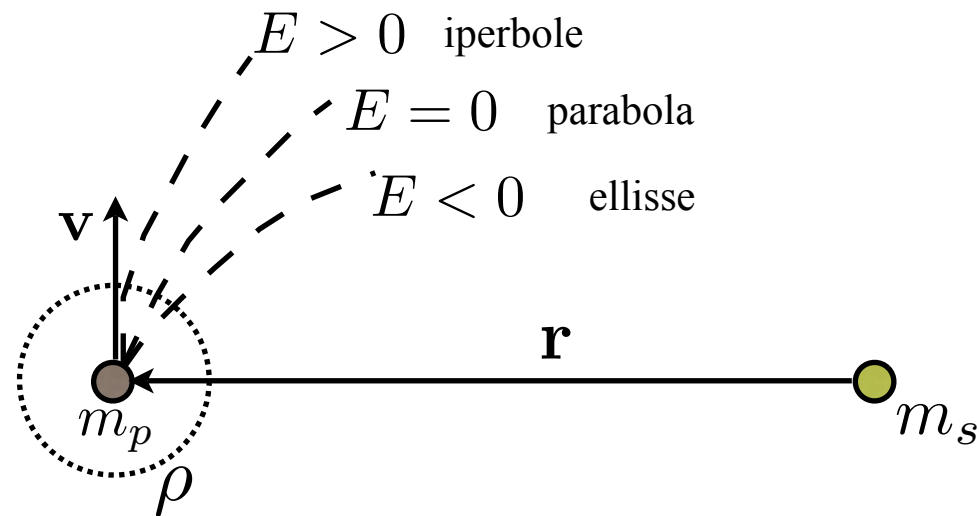
# Agenda

- ▶ La progettazione di traiettorie spaziali
- ▶ L'approccio classico, cenni storici
- ▶ I problemi a  $n$  corpi
- ▶ Il problema dei tre corpi ristretto
- ▶ I punti lagrangiani
- ▶ Natura dei punti lagrangiani
- ▶ Le varietà invarianti
- ▶ I trasferimenti *low energy*
- ▶ Orbite risonanti
- ▶ Il problema dei quattro corpi e la fuga balistica
- ▶ Conclusioni



# Il problema dei due corpi

- ▶ equazione di moto:  $\ddot{\mathbf{r}} + \frac{k}{r^3}\mathbf{r} = 0$
- ▶ energia  $E = \frac{1}{2}v^2 - \frac{k}{r} = \text{cost}$
- ▶ momento angolare  $\mathbf{h} = \mathbf{r} \times \mathbf{v} = \text{cost}$

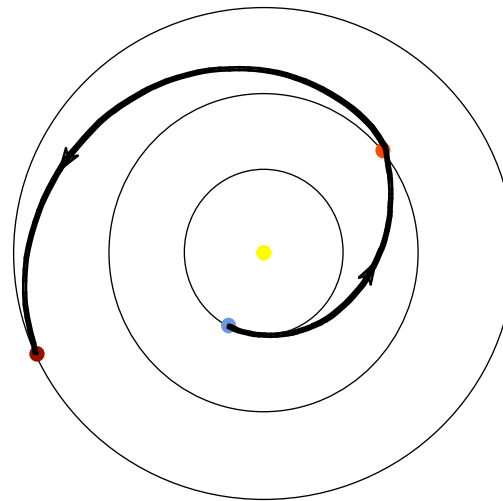


- ▶ raggio sfera di influenza  $\rho = r \left( \frac{m_p}{m_s} \right)^{2/5}$



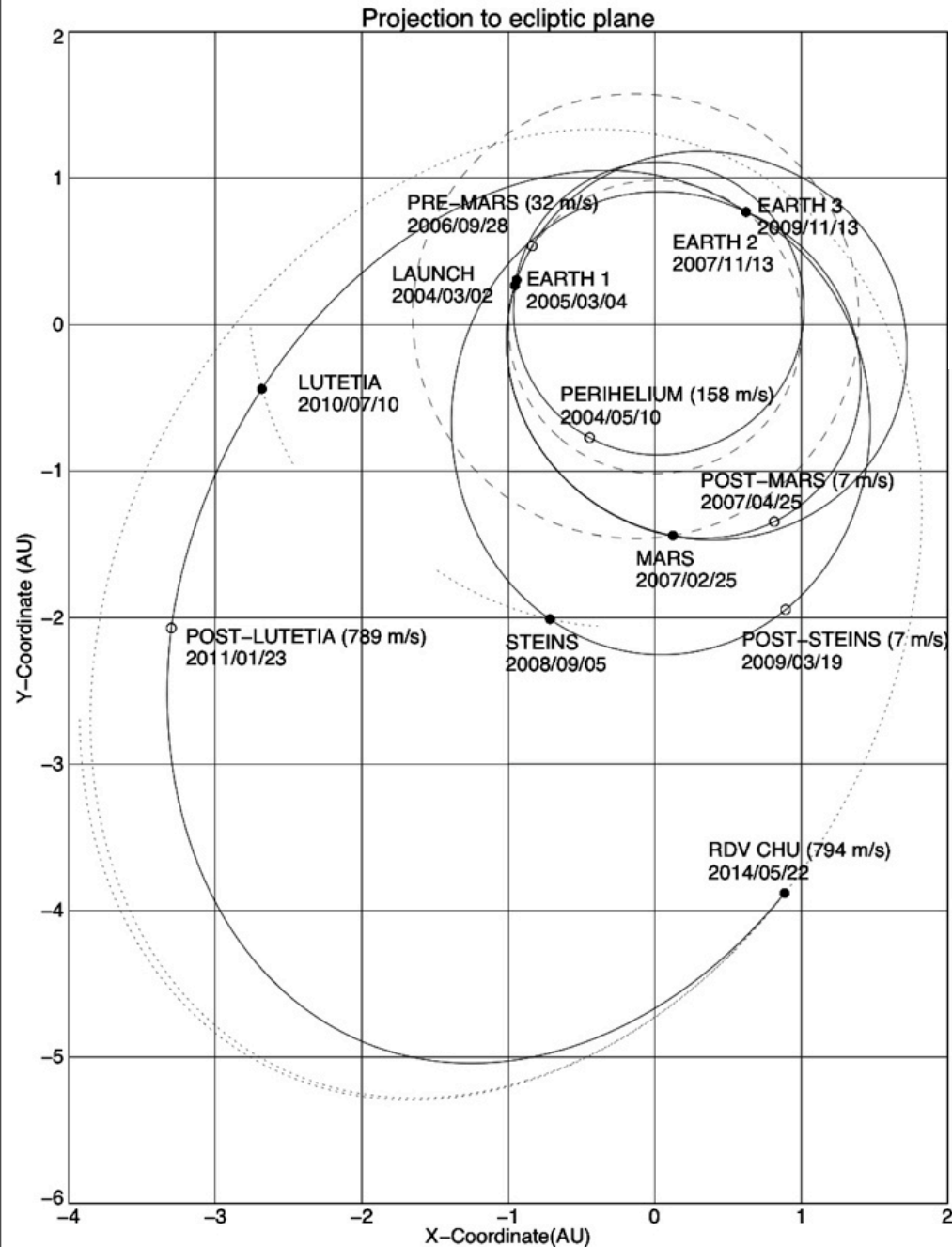
# Il metodo delle “patched-conics”

*Intera traiettoria determinata dall'unione di diverse coniche, soluzioni del problema di Keplero*

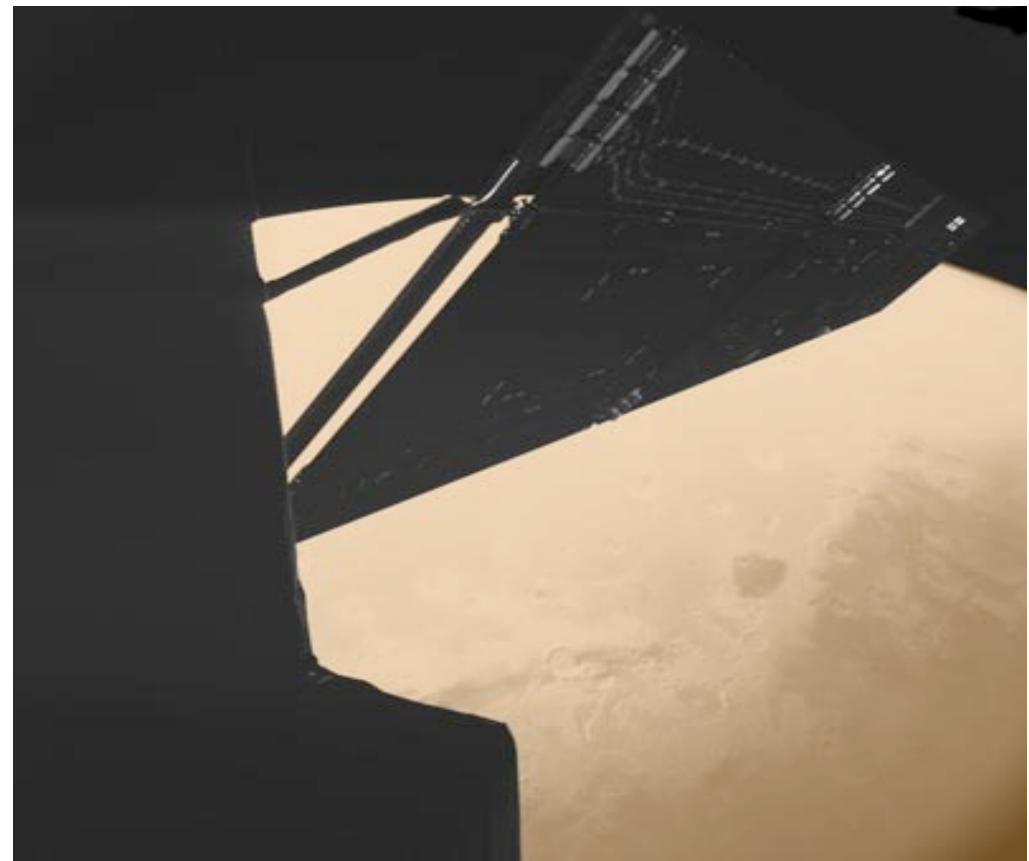


- ▶ richiede la soluzione di problemi a due corpi (sole/pianeta-sonda)
- ▶ considera *una sola* attrazione gravitazionale
- ▶ introduce il concetto di *sfere d'influenza*
- ▶ consente di progettare traiettorie complesse (*multiple gravity assist*)

# La missione Rosetta



	Launch	Earth-1	Mars	Earth-2	Earth-3
Date	2004 Mar 02	2005 Mar 04	2007 Feb 25	2007 Nov 13	2009 Nov 13
V-inf (km/s)	3.547	3.863	8.809	9.362	9.379
Rad of peric (km)	6771	8341	3650	11680	8861



A. Finzi e F. Topputo, Politecnico di Milano

# Caratteristiche dell'approccio classico

- ★ soluzioni analitiche
- ★ interpretazione immediata delle costanti del moto
- ★ soluzioni prossime a quelle “vere”
- ★ trasferimenti ad alta energia

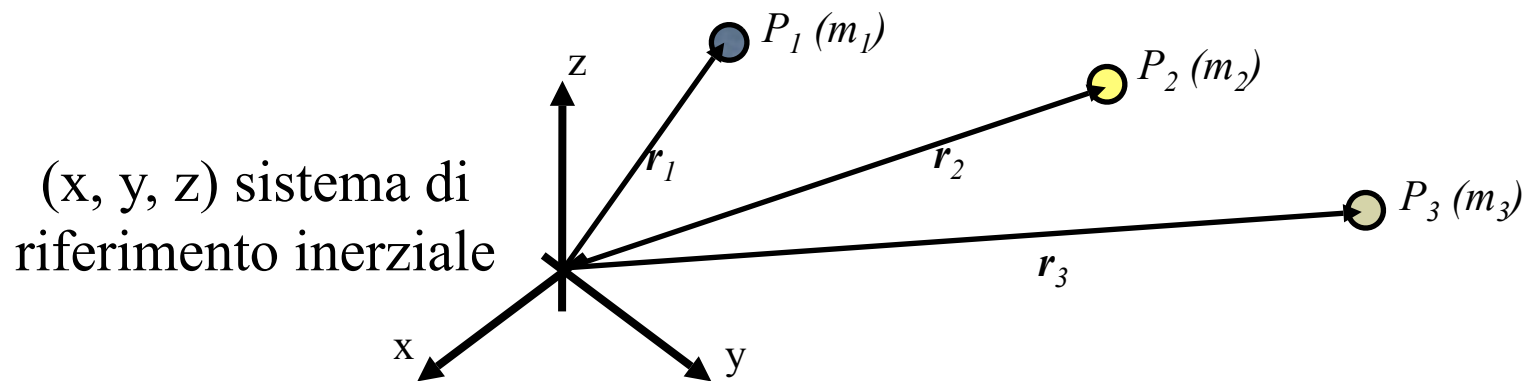
... ma ...

- ▶ cosa succede se il satellite permane in regioni dove due (o più) attrazioni gravitazionali sono confrontabili?
- ▶ è possibile diminuire il costo ( $\Delta v$ ) dei trasferimenti?

# Modelli a n-corpi

## Le equazioni di Newton

$$m_k \ddot{\mathbf{r}}_k = \sum_{j=1, j \neq k}^n G \frac{m_j m_k}{r_{jk}^3} (\mathbf{r}_j - \mathbf{r}_k), \quad k = 1, 2, \dots, n,$$



- In astrodinamica si considerano solo modelli ristretti:
  - ▶ Il moto dei corpi celesti (primari) è assegnato
  - ▶ Il satellite non influenza il moto dei primari
  - ▶ Il problema è *ristretto* allo studio del moto del satellite

# Il problema di Keplero perturbato

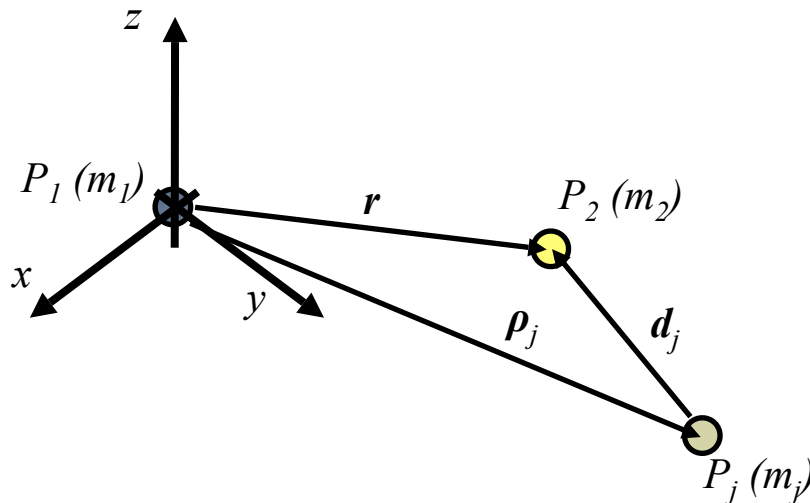
$$\underbrace{\frac{d^2 \mathbf{r}}{dt^2} + \mu \frac{\mathbf{r}}{r^3}}_{\text{problema dei due corpi}} = -G \underbrace{\sum_{j=3}^n m_j \left( \frac{\mathbf{d}_j}{d_j^3} + \frac{\boldsymbol{\rho}_j}{\rho_j^3} \right)}_{\text{perturbazione di terzo corpo}} = \sum_{j=3}^n \frac{\partial V_j}{\partial \mathbf{r}}$$

problema dei due corpi

perturbazione di terzo corpo

$$V_j = Gm_j \left( \frac{1}{d_j} - \frac{\mathbf{r} \cdot \boldsymbol{\rho}_j}{\rho_j^3} \right)$$

La perturbazione del terzo corpo ammette potenziale



Il disturbo dato da  $P_j$  potrebbe equilibrare l'attrazione gravitazionale di  $P_1$

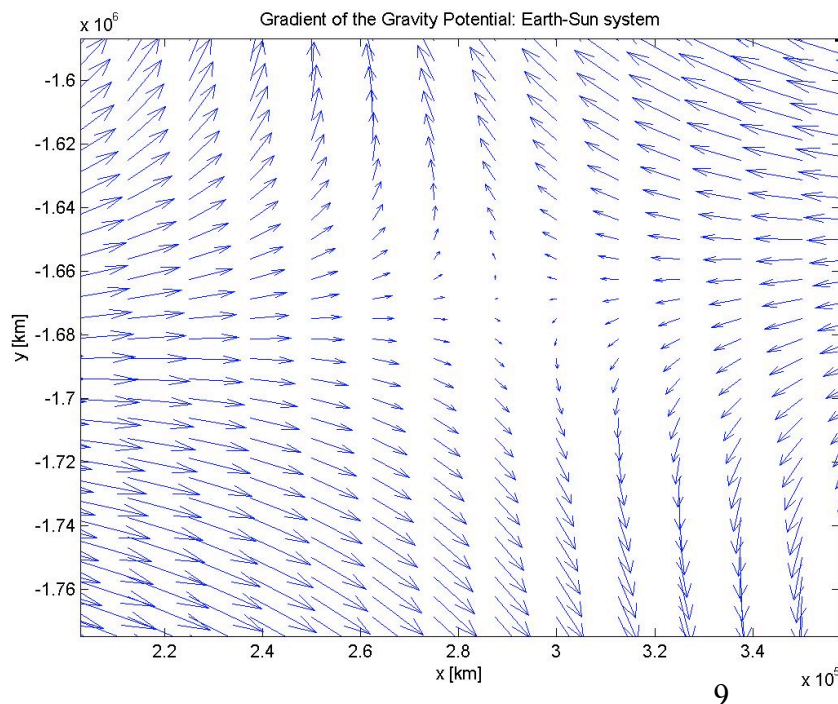
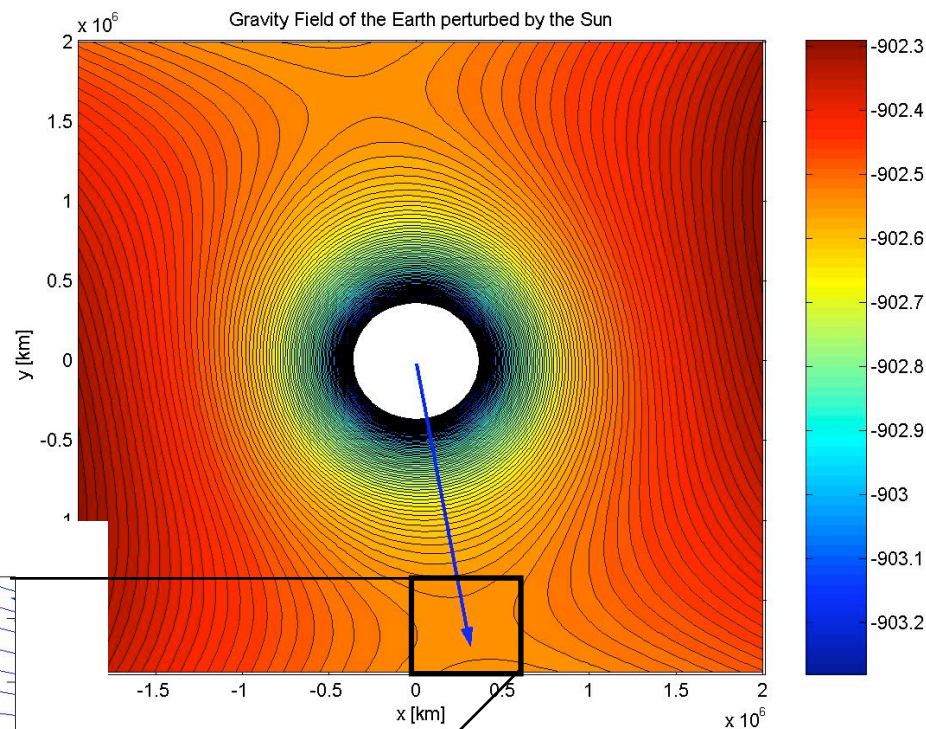


# Esempio

## Terra-satellite perturbato dal Sole

Potenziale totale  $\longrightarrow$

Le forse si fanno equilibrio  
in alcuni punti ...

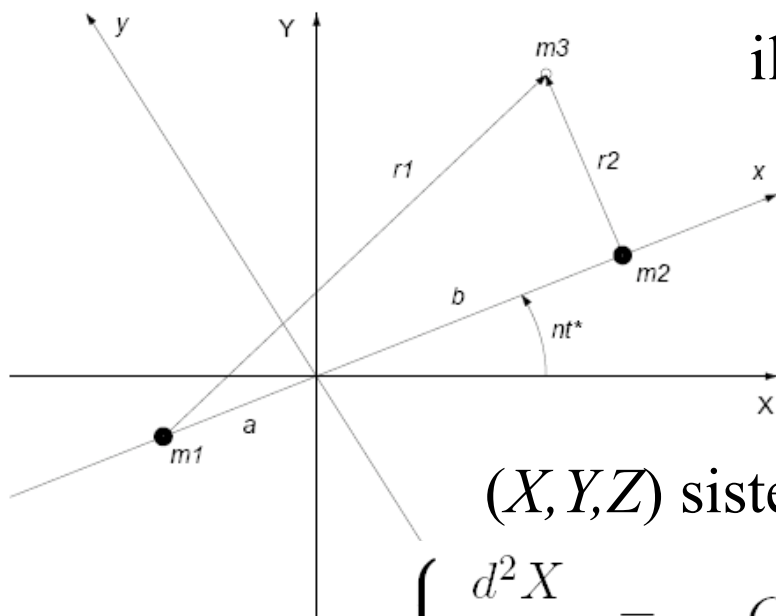


$\longleftarrow$  forza totale



# Il problema dei tre corpi ristretto

- ▶ i due primari agiscono sul terzo corpo (massa trascurabile)
- ▶ il terzo corpo non influisce sui primari
- ▶ i due primari si muovono di moto circolare attorno al loro centro di massa (problema circolare)



il moto dei primari è *assegnato*:

$$\begin{aligned} X_1 &= -a \cos nt^*, & X_2 &= b \cos nt^*, \\ Y_1 &= -a \sin nt^*, & Y_2 &= b \sin nt^*. \end{aligned}$$

Il problema è *ristretto* al moto del terzo corpo

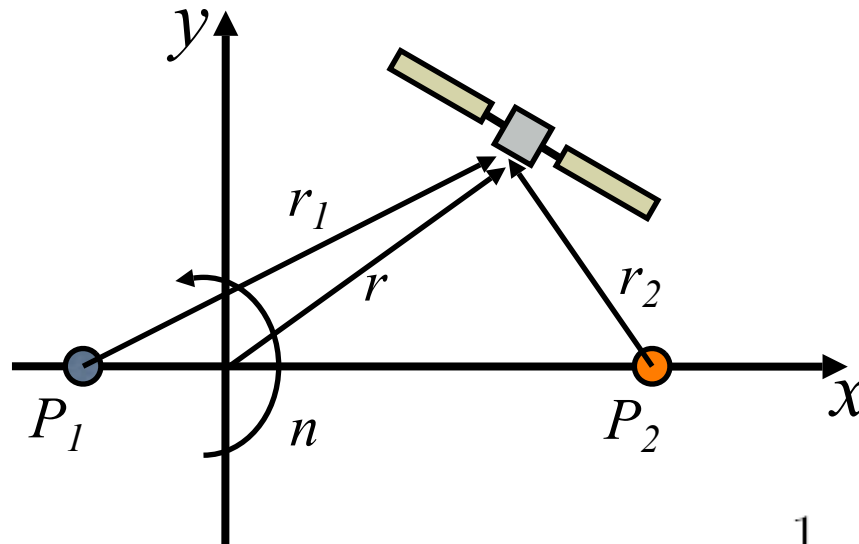
$(X, Y, Z)$  sistema inerziale

$$\begin{cases} \frac{d^2 X}{dt^{*2}} = -G \left[ \frac{m_1 (X + a \cos nt^*)}{R_1^3} + \frac{m_2 (X - b \cos nt^*)}{R_2^3} \right], \\ \frac{d^2 Y}{dt^{*2}} = -G \left[ \frac{m_1 (Y + a \sin nt^*)}{R_1^3} + \frac{m_2 (Y - b \sin nt^*)}{R_2^3} \right], \\ \frac{d^2 Z}{dt^{*2}} = -G \left[ \frac{m_1 Z}{R_1^3} + \frac{m_2 Z}{R_2^3} \right], \end{cases}$$



# Sistema di riferimento rotante

- Equazioni adimensionali scritte in un riferimento rotante (sinodico) solidale con i primari. Il sistema dinamico è *autonomo*.



$$\begin{aligned}\ddot{x} - 2\dot{y} &= \Omega_x, \\ \ddot{y} + 2\dot{x} &= \Omega_y, \\ \ddot{z} &= \Omega_z,\end{aligned}$$

$$\mu = \frac{m_2}{m_1 + m_2}$$

parametro di massa  
del PR3C

$$\Omega(x, y, z) = \frac{1}{2}(x^2 + y^2) + \frac{1 - \mu}{r_1} + \frac{\mu}{r_2} + \frac{1}{2}\mu(1 - \mu)$$

$$r_1^2 = (x + \mu)^2 + y^2 + z^2, \quad r_2^2 = (x - 1 + \mu)^2 + y^2 + z^2$$

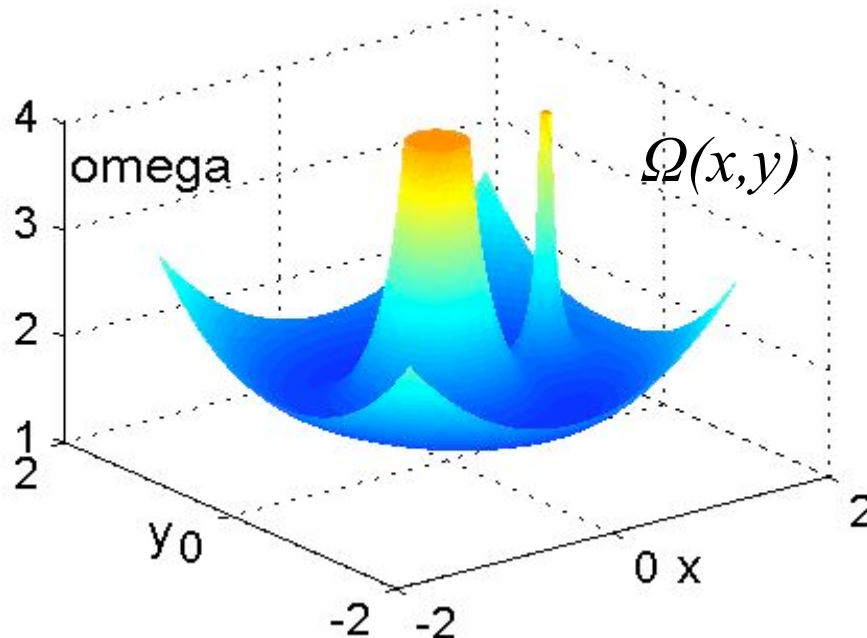
$$\begin{aligned}G &= 1 & n &= 1 \\ m_1 &= 1 - \mu & x_1 &= -\mu \\ m_2 &= \mu & x_2 &= 1 - \mu\end{aligned}$$



# Integrale di Jacobi

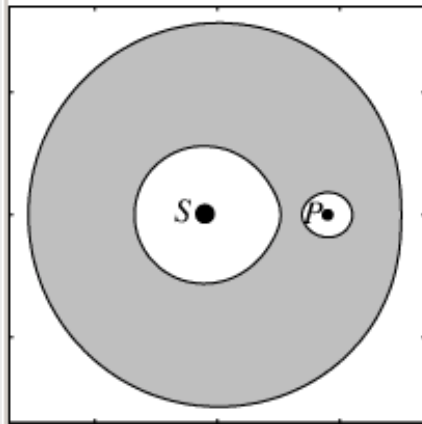
- Il PR3C ha *un solo* integrale del moto: l'integrale di Jacobi
- Il problema non è integrabile! solo osservazioni qualitative ...
- Si possono stabilire regioni *vietate* ad *ammesse* al moto

$$C = 2\Omega(x, y, z) - (\dot{x}^2 + \dot{y}^2 + \dot{z}^2) \geq 0$$

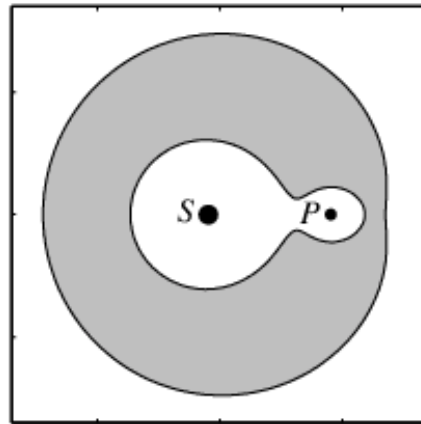


Dato  $\mathbf{x}_0$ , allora  $C_0 = C(\mathbf{x}_0)$  e le regioni ammesse sono  $(x, y, z)$  tali che  $\Omega(x, y, z) \geq C_0/2$

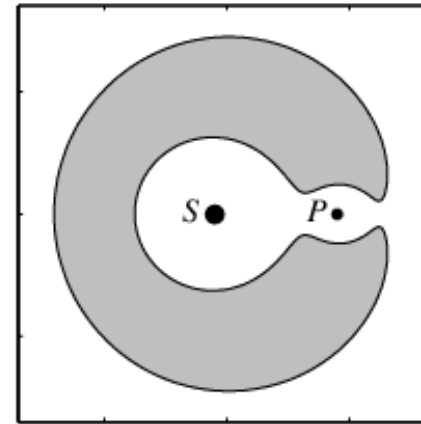
# Regioni vietate e curve di Hill



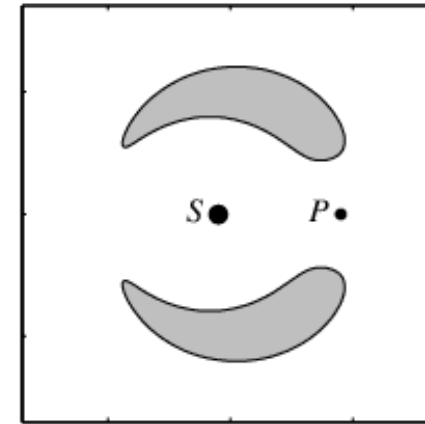
(a) Case 1 :  $E < E_1$



(b) Case 2 :  $E_1 < E < E_2$



(c) Case 3 :  $E_2 < E < E_3$

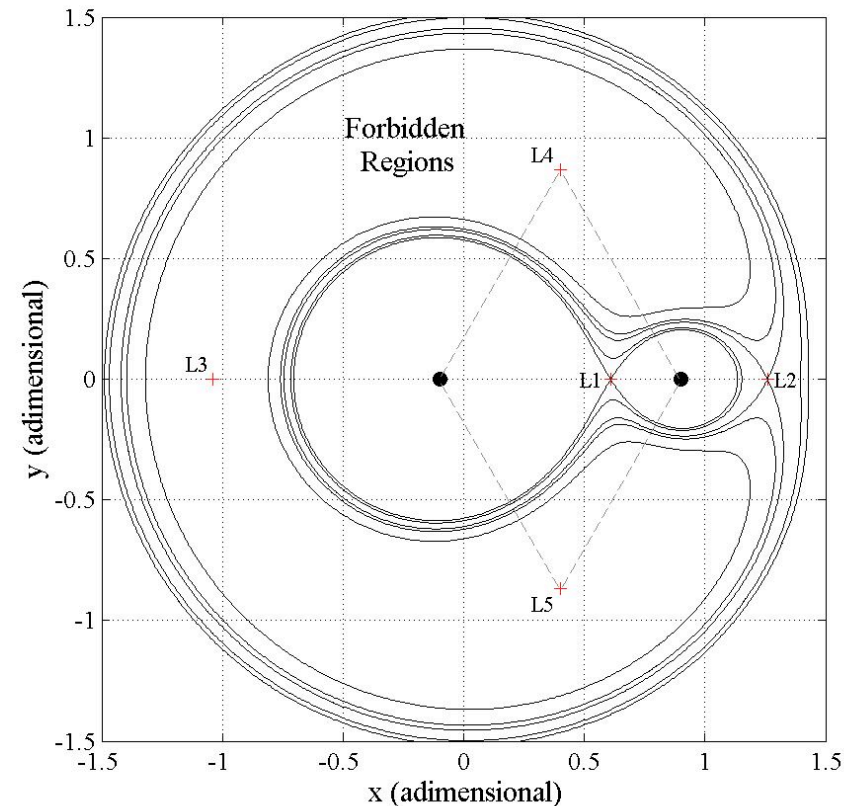


(d) Case 4 :  $E_3 < E < E_4 = E_5$

$$C = -2E$$

$C$  elevato  $\rightarrow$  bassa energia!

Se  $C < 3$ , il satellite è libero di muoversi nell'intero spazio  $(x, y, z)$



# Punti di equilibrio

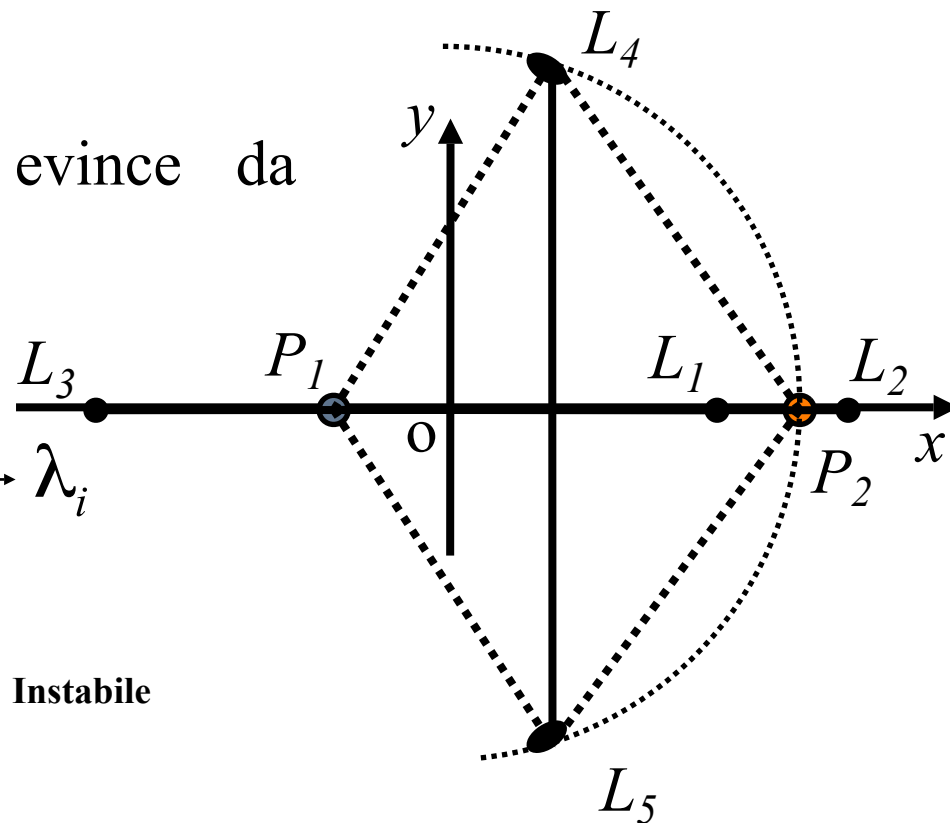
Il sistema dinamico ha 5 punti di equilibrio (punti lagrangiani).

La “natura” dei punti si evince da un’analisi lineare.

$$\dot{x} = f(x) \longrightarrow \dot{x} = Ax \longrightarrow \lambda_i$$

$$L1, L2, L3: \begin{cases} \lambda_1 = -\lambda_2 \\ \lambda_{3/4} = \pm i\alpha_1 \longrightarrow \text{Instabile} \\ \lambda_{5/6} = \pm i\alpha_2 \end{cases}$$

$$L4, L5: \begin{cases} \lambda_{1,2} = \pm \sqrt{1/2\{-1 + [1 - 27\mu(1 - \mu)]^{1/2}\}} \\ \lambda_{3,4} = \pm \sqrt{1/2\{-1 - [1 - 27\mu(1 - \mu)]^{1/2}\}} \\ \lambda_{5,6} = \pm i\gamma \longrightarrow \text{Stabile se } \mu < \mu_0 = 0.0385 \end{cases}$$



Nota: l’equilibrio è relativo al sistema sinodico!

# PR3C nel sistema solare

System	$\mu$
Sun – Mercury	0.00000 01667
Sun – Venus	0.00000 24510
Sun – Earth	0.00000 30359
Sun – Mars	0.00000 03233
Sun – Jupiter	0.00095 38754
Sun – Saturn	0.00028 55022
Sun – Uranus	0.00004 37254
Sun – Neptune	0.00005 17732
Sun – Pluto	0.00000 27778
Earth – Moon	0.01215 06683

I punti triangolari dei PR3C del sistema solare sono *stabili*

I punti collineari  $L_1$  e  $L_2$  sono importanti per le applicazioni

- ▶ bassi valori di energia (alti valori  $C$ )
- ▶ dinamiche, stabili e instabili, veloci

autovalori stabili e instabili

⇒ Orbite iperboliche intorno a  $L_1$  e  $L_2$

autovalori complessi e coniugati

⇒ Orbite periodiche intorno a  $L_1$  e  $L_2$

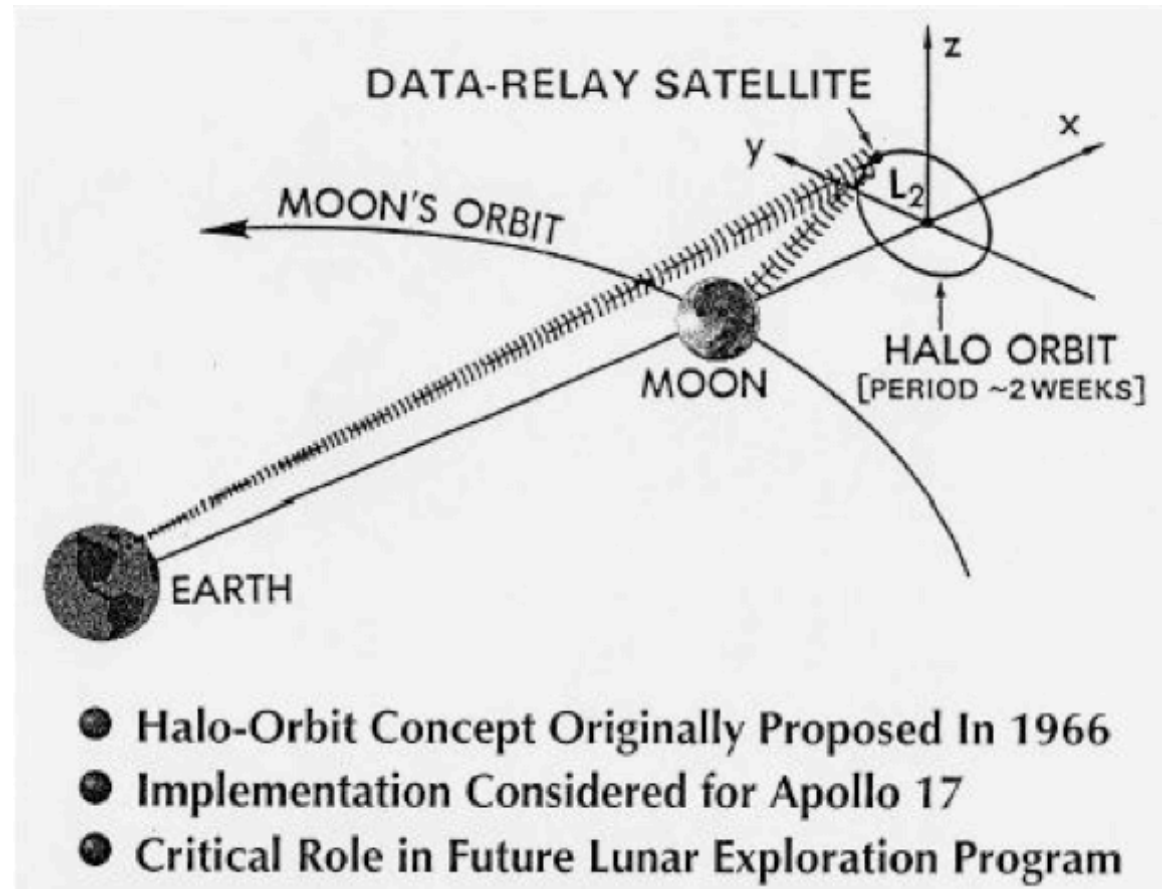
# Cenni storici

Scoperti:

- ▶ Lagrange, 1772

Utilizzo:

- ▶ Colombo, 1960
- ▶ Farquhar, 1966

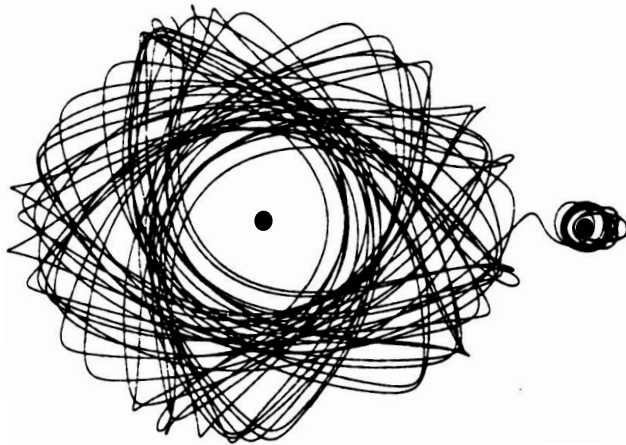


- ➔ Le orbite non-kepleriane hanno caratteristiche uniche che possono essere utilizzate in scenari innovativi



# I trasferimenti a bassa energia

- I trasferimenti a bassa energia emergono in modelli nei quali si tiene conto di due (o più) attrazioni gravitazionali *contemporaneamente* agenti sulla sonda.



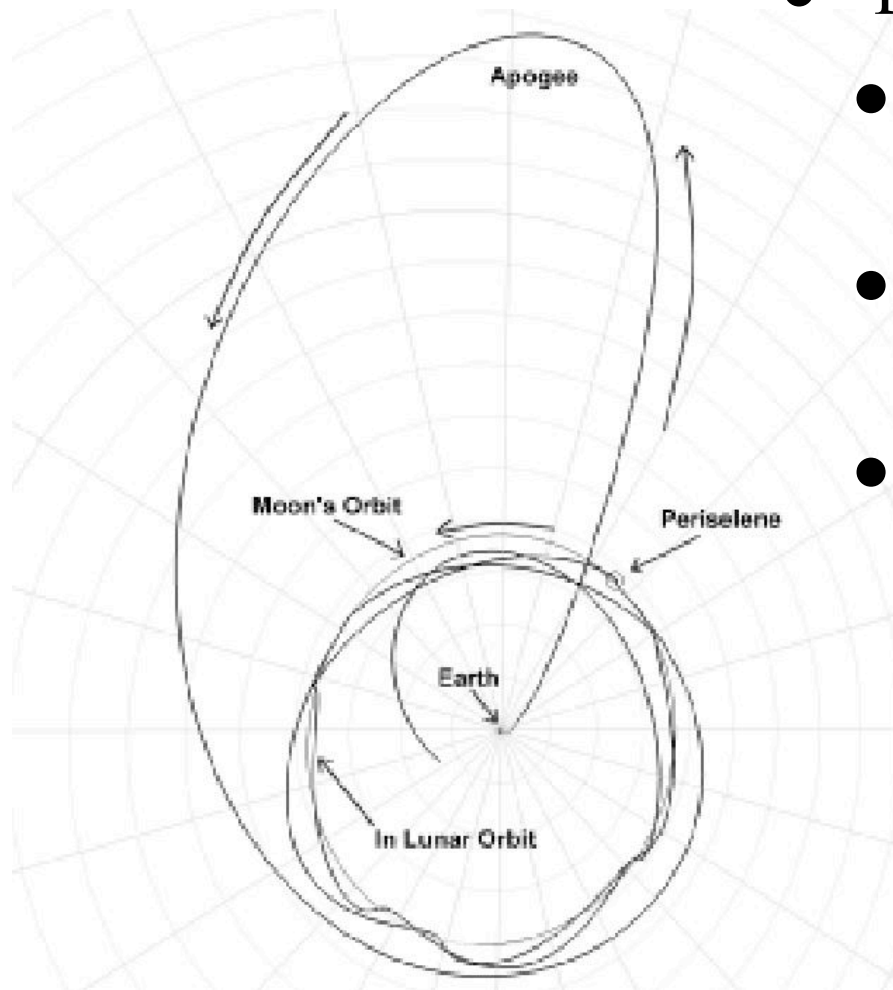
- ▶ orbite non-kepleriane
- ▶ dinamiche caotiche
- ▶ sistemi non integrabili
- ▶ perdita degli elementi orbitali

➔ come progettare trasferimenti *low energy*?

approccio *qualitativo*: sfruttare la presenza di punti di equilibrio, orbite periodiche, varietà invarianti, ...

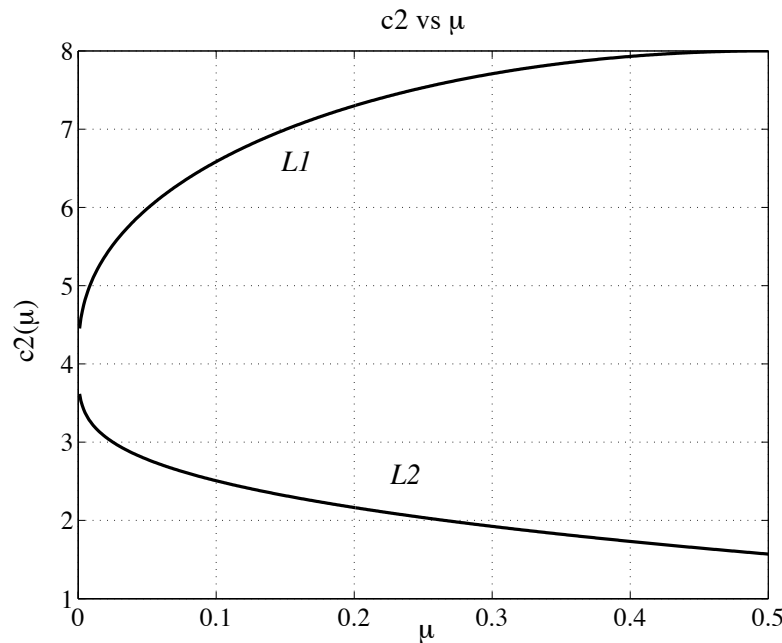
# Le “weak stability boundaries”

- Belbruno, 1987
- Trasferimenti Terra-Luna con cattura balistica
- Arrivo su orbita selenocentrica ellittica
- Salvataggio della missione giapponese Hiten nel 1991



# Linearizzazione intorno a $L_1$ e $L_2$

Riferimento centrato nel punto d'equilibrio



$$\begin{cases} \ddot{x} - 2\dot{y} - (1 + 2c_2)x = 0 \\ \ddot{y} + 2\dot{x} + (c_2 - 1)y = 0 \\ \ddot{z} + c_2z = 0 \end{cases}$$

$$\text{con } c_2 = c_2(\mu) = \frac{\mu}{(1 - \mu - l_i)^3} + \frac{1 - \mu}{(\mu + l_i)^3}$$

$$l_i = x_{Li}, i=1,2.$$

# Soluzione linearizzata

$$\begin{cases} x(t) = A_1 e^{\lambda t} + A_2 e^{-\lambda t} + A_x \cos(\omega t + \varphi) \\ y(t) = -k_1 A_1 e^{\lambda t} + k_1 A_2 e^{-\lambda t} - k_2 A_x \sin(\omega t + \varphi) \\ z(t) = A_z \cos(\nu t + \psi) \end{cases}$$

Autovalori dello jacobiano

$$\lambda = \sqrt{\frac{c_2 - 2 + \sqrt{9c_2^2 - 8c_2}}{2}}, \quad \omega = \sqrt{\frac{2 - c_2 + \sqrt{9c_2^2 - 8c_2}}{2}}, \quad \nu = \sqrt{c_2}$$

$$k_1 = \frac{2c_2 + 1 - \lambda^2}{2\lambda}, \quad k_2 = \frac{2c_2 + 1 + \omega^2}{2\omega}$$



# Costanti arbitrarie

$$\begin{cases} x(t) = A_1 e^{\lambda t} + A_2 e^{-\lambda t} + A_x \cos(\omega t + \varphi) \\ y(t) = -k_1 A_1 e^{\lambda t} + k_1 A_2 e^{-\lambda t} - k_2 A_x \sin(\omega t + \varphi) \\ z(t) = A_z \cos(\nu t + \psi) \end{cases}$$

$A_1, A_2, A_x, A_z, \varphi, \psi$  sono costanti arbitrarie associate a soluzioni di diversa natura

in generale  $\omega \neq \nu$

$A_1, A_2$  moto stabile e instabile (sella)

$A_x, \varphi$  moto periodico nel piano (centro)

$A_z, \psi$  moto periodico fuori dal piano (centro)



# Sella

$$\begin{cases} x(t) = A_1 e^{\lambda t} + A_2 e^{-\lambda t} \\ y(t) = -k_1 A_1 e^{\lambda t} + k_1 A_2 e^{-\lambda t} \end{cases}$$

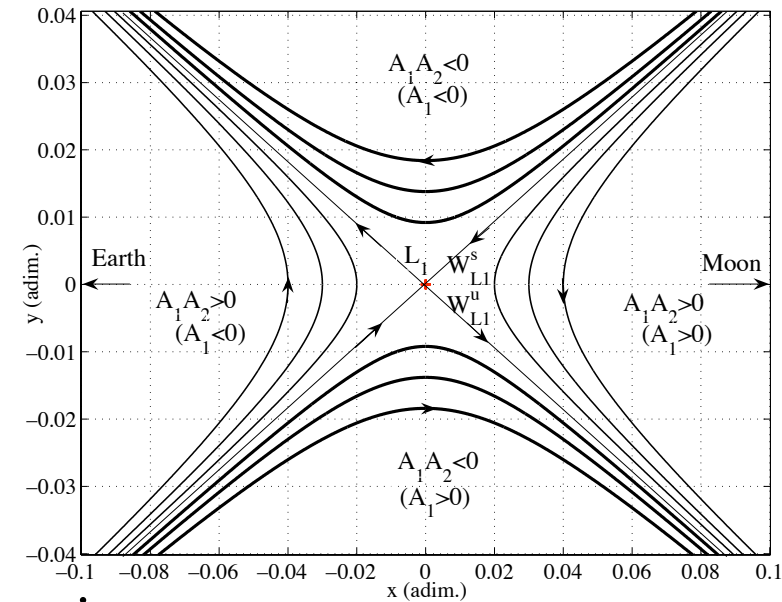
*Orbite iperboliche* ( $A_1 \neq 0$  e  $A_2 \neq 0$ )

- ▶ orbite di transito ( $A_1 A_2 < 0$ )
- ▶ orbite di non-transito ( $A_1 A_2 > 0$ )

*Varietà invarianti lineari* associate ai punti

- ▶  $E^s_{Li}$ , varietà stabile ( $A_1 = 0, A_2 \neq 0$ )
- ▶  $E^u_{Li}$ , varietà instabile ( $A_1 \neq 0, A_2 = 0$ )

Le varietà invarianti associate ai punti possono essere sfruttate per applicazioni spaziali

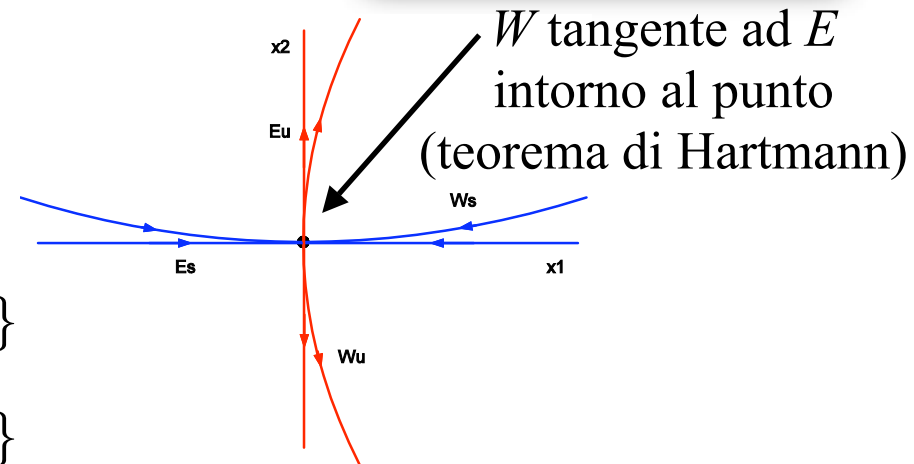


# Varietà invarianti (punti)

*Varietà invarianti*: linee 1D, nello spazio delle fasi, tali che

$$W_{L_i}^s \equiv \{ \mathbf{x} \in \mathbb{R}^6 \mid \mathbf{x}(t) \rightarrow L_i, t \rightarrow +\infty \}$$

$$W_{L_i}^u \equiv \{ \mathbf{x} \in \mathbb{R}^6 \mid \mathbf{x}(t) \rightarrow L_i, t \rightarrow -\infty \}$$

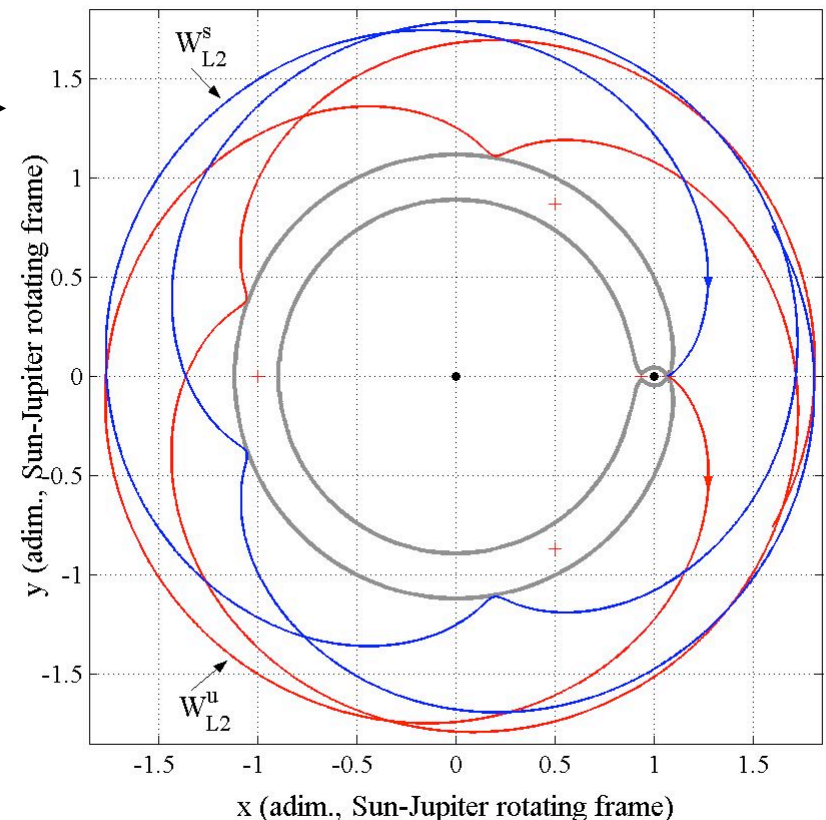


Sistema Sole-Giove

$W_{L_2}^s$  (blu)

$W_{L_2}^u$  (rosso)

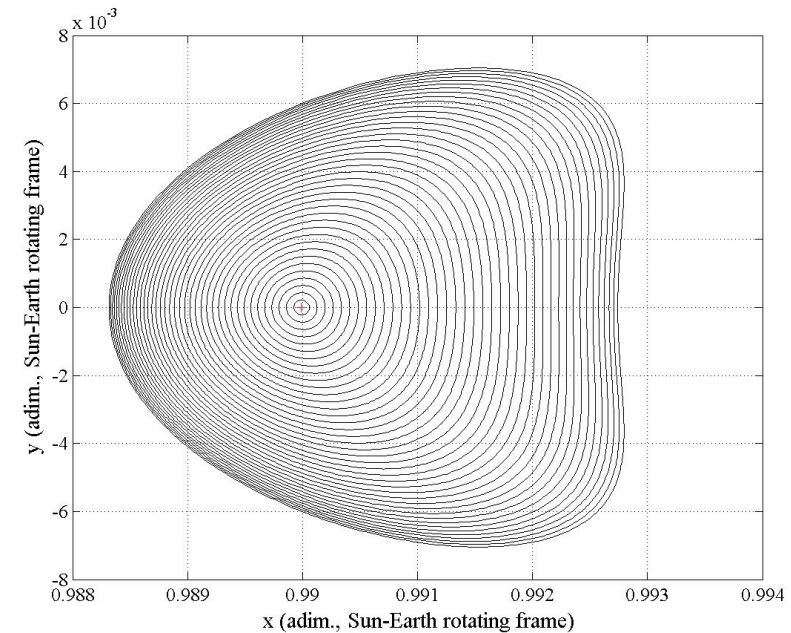
Le due varietà 1D si estendono fino a 3 UA oltre l'orbita di Giove.



# Orbite di Lyapunov

Nel piano  $(x,y)$

$$\begin{cases} x(t) = A_x \cos(\omega t + \varphi) \\ y(t) = -k_2 A_x \sin(\omega t + \varphi) \end{cases}$$



*Orbite Lyapunov* infinitesime possono essere continuate fino ad ottenere orbite di dimensione finita

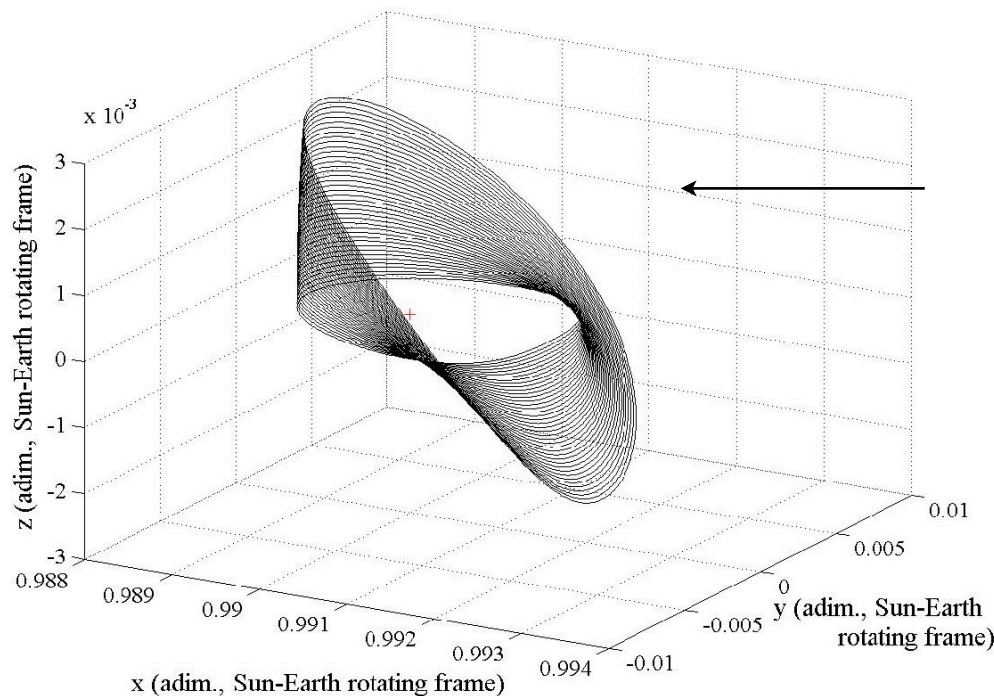
Queste orbite sono di scarsa utilità pratica (per applicazioni spaziali è utile il moto fuori dal piano)





# Orbite halo

- ▶ Ampie orbite periodiche 3D
- ▶  $\omega = \nu$ , ottenute *forzando* i termini di ordine superiore
- ▶ Adatte a molte missioni (ampie escursioni fuori dal piano)
- ▶ Ottenute per via semi-analitica

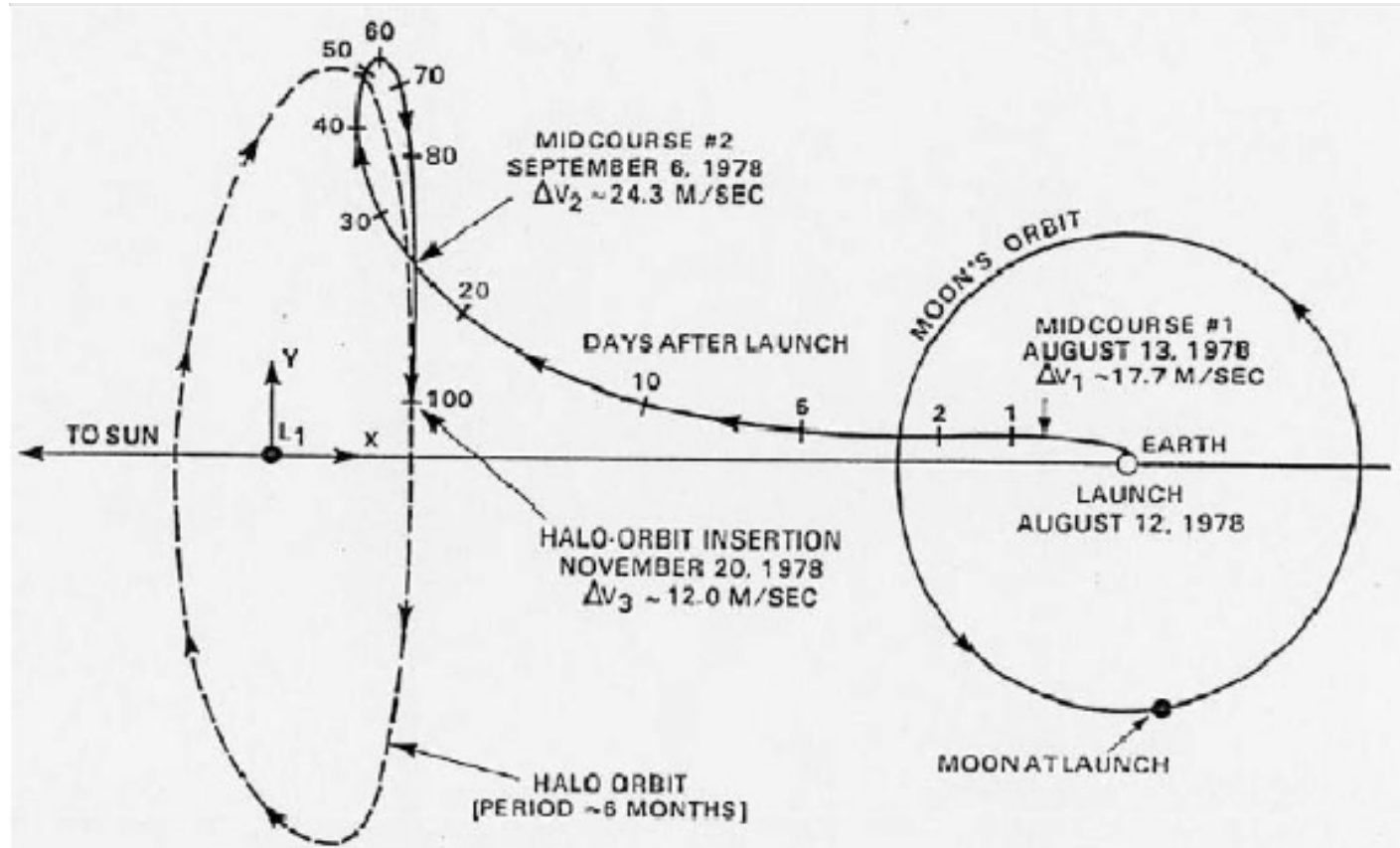


Famiglia di orbite halo  
intorno a  $L_1$  del sistema  
Sole-Terra

# La prima missione

ISEE-3, 1978

*Scopo:* monitorare l'interazione tra il vento solare e il campo gravitazionale terrestre fuori dalle fasce di Van Allen



# Varietà invarianti (orbite)

- ▶ Esistono anche varietà invarianti associate alle orbite periodiche
- ▶ Queste varietà sono “oggetti” più complicati delle semplici varietà associate ai punti

Varietà  $2D$ , nello spazio delle fasi, definiti come:

Varietà stabile

$$W_{L_i, p.o.}^s \equiv \{ \mathbf{x} \in \mathbb{R}^6 \mid \mathbf{x}(t) \rightarrow p.o., t \rightarrow +\infty \}$$

Varietà instabile

$$W_{L_i, p.o.}^u \equiv \{ \mathbf{x} \in \mathbb{R}^6 \mid \mathbf{x}(t) \rightarrow p.o., t \rightarrow -\infty \}$$

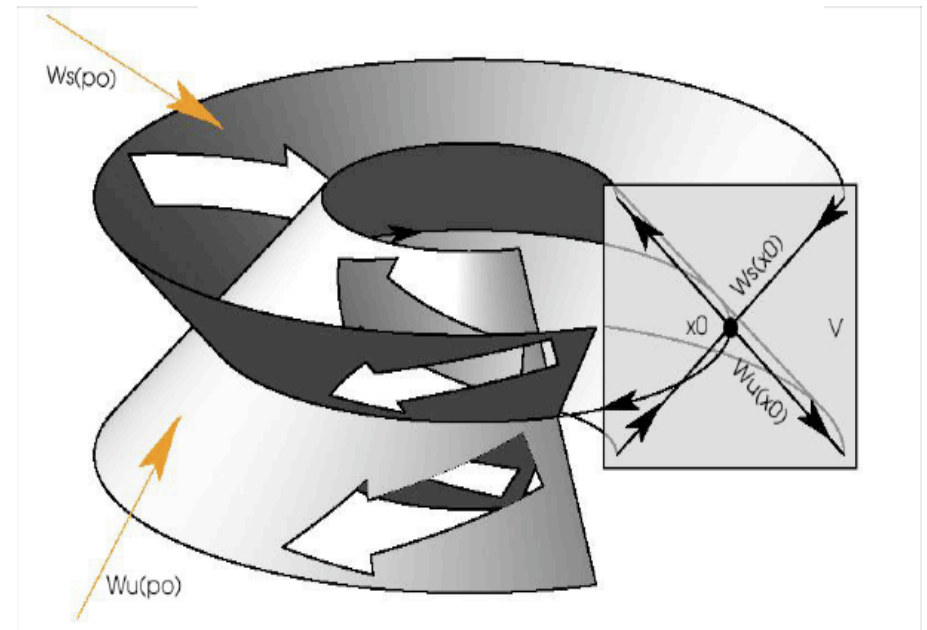


# Varietà invarianti (orbite)

$W^s_{Lip.o.}$  e  $W^u_{Lip.o.}$  possono essere viste come le varietà associate ad un punto di equilibrio di una mappa di Poincaré

$$\mathbf{x} \mapsto \mathbf{x}_0 + M(\mathbf{x} - \mathbf{x}_0)$$

Associate agli autovalori stabili e instabili dell'operatore di monodromia  $M$ , associato all'orbita periodica.

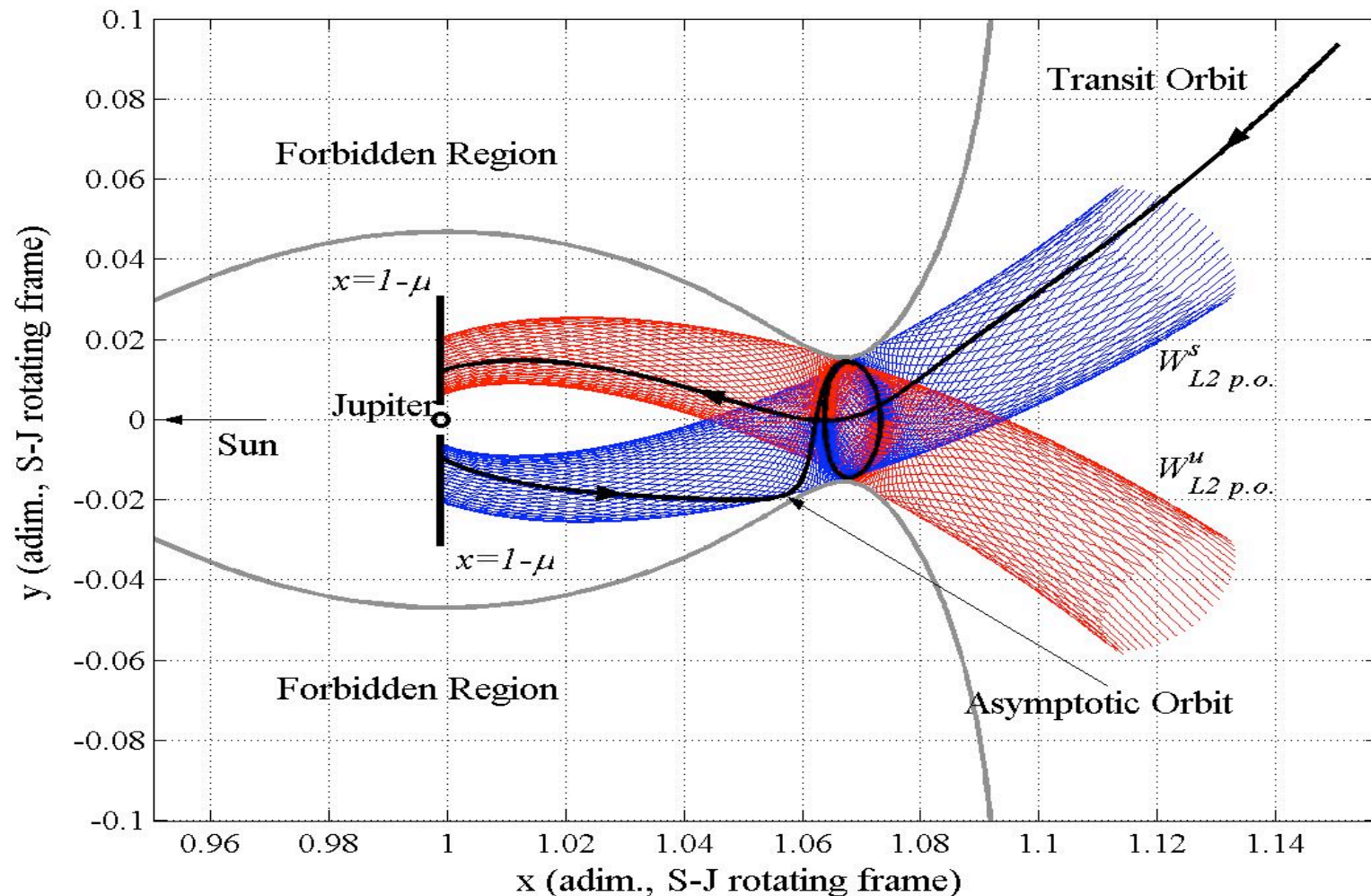


# Varietà invarianti: esempio

Sistema Sole-Giove

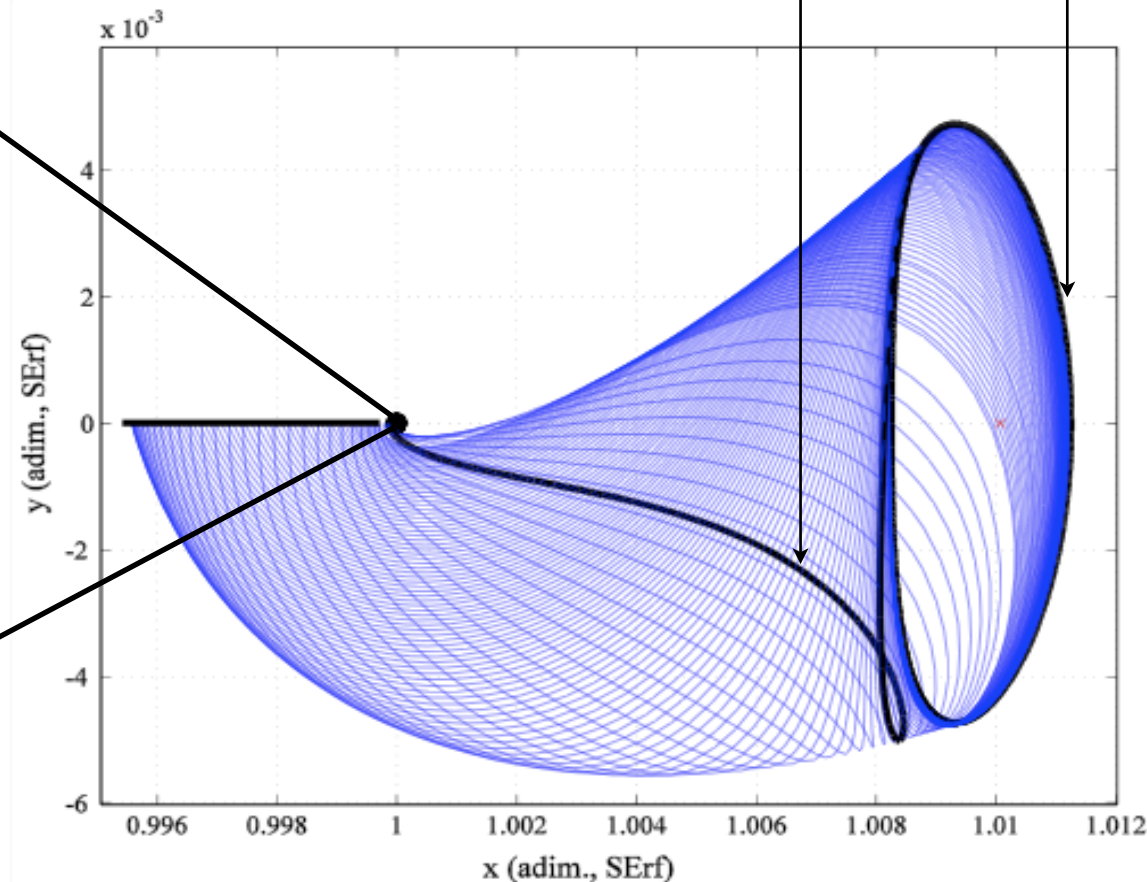
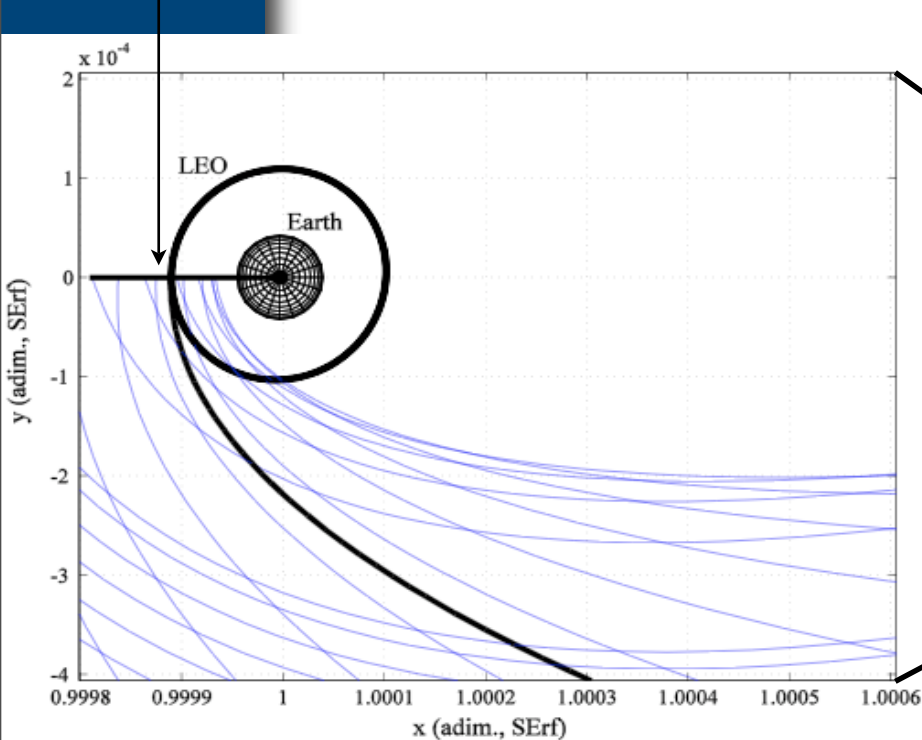
Orbita di Lyapunov intorno a L2

blu:  $W^s_{L2p.o.}$ , rosso:  $W^u_{L2p.o.}$



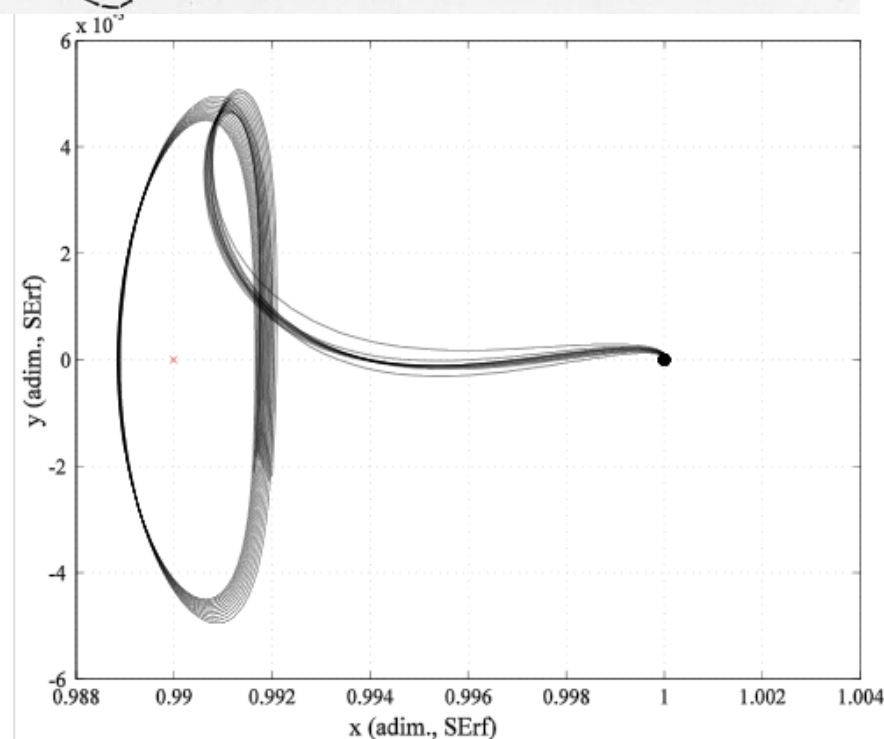
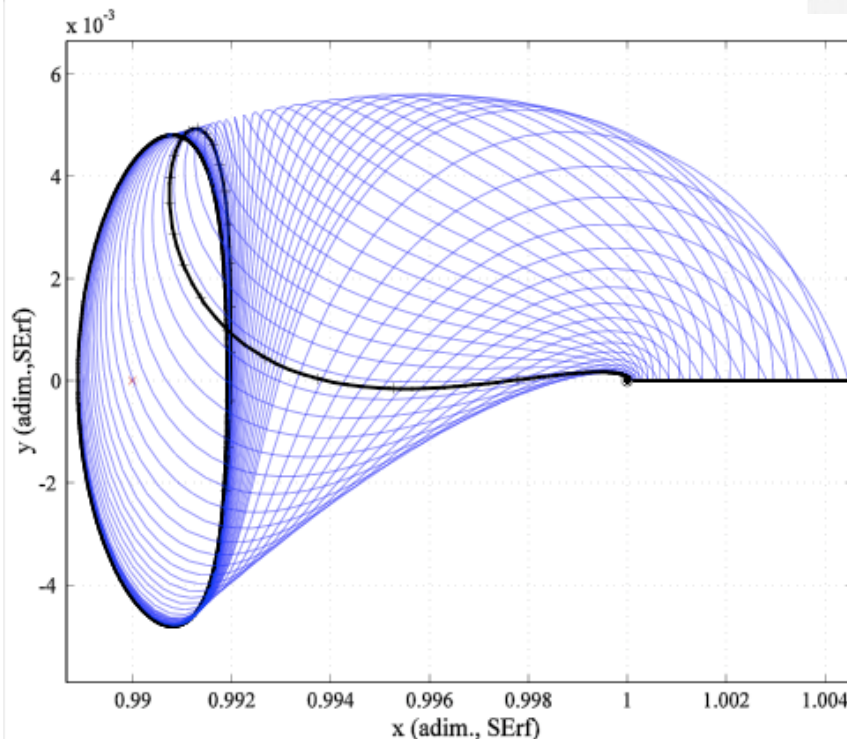
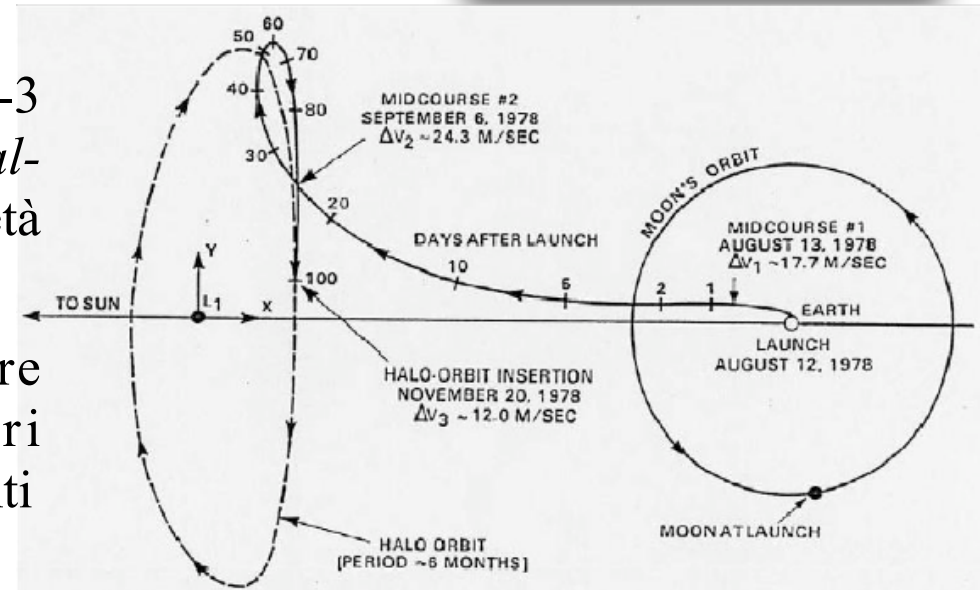
# “Libration point missions”

- Le orbite asintotiche (stabili) possono essere sfruttate
- Se lo scopo è orbitare un punto di equilibrio (e.g.  $L_2$  Sole-Terra)
  - ▶ “posizionare” il satellite sulla varietà stabile dell’orbita
  - ▶ il satellite tende spontaneamente all’orbita finale
  - ▶ una piccola manovra è necessaria per l’inserzione sulla halo



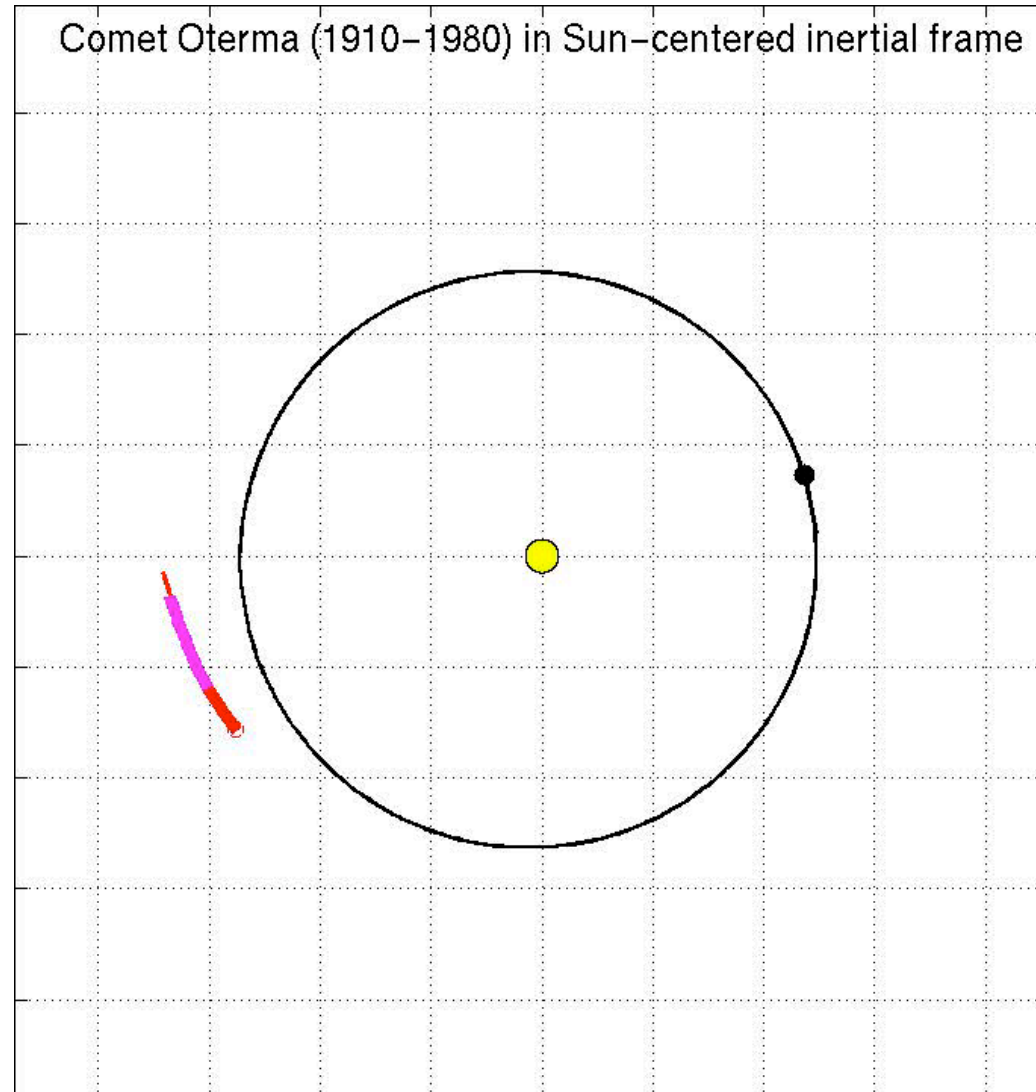
# La missione ISEE-3

- ▶ Nel 1978 la traiettoria di ISEE-3 fu progettata con metodi *trial-and-error* (il concetto di varietà stabile non era stato introdotto)
- ▶ la traiettoria può essere giustificata a posteriori nell'ottica delle varietà invarianti



# Orbite risonanti

Ottenute con opportune condizioni iniziali

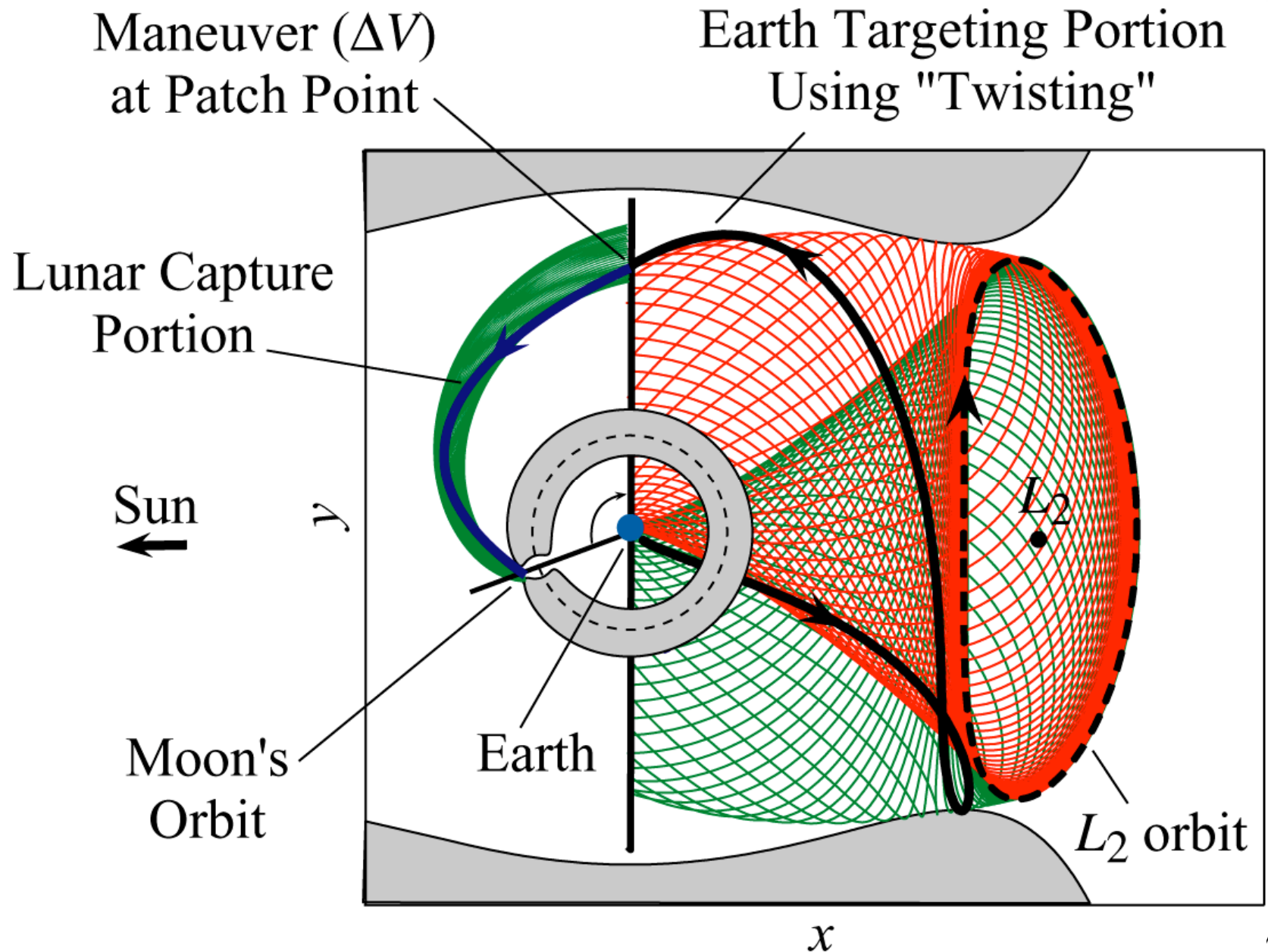




# “Resonance transition”

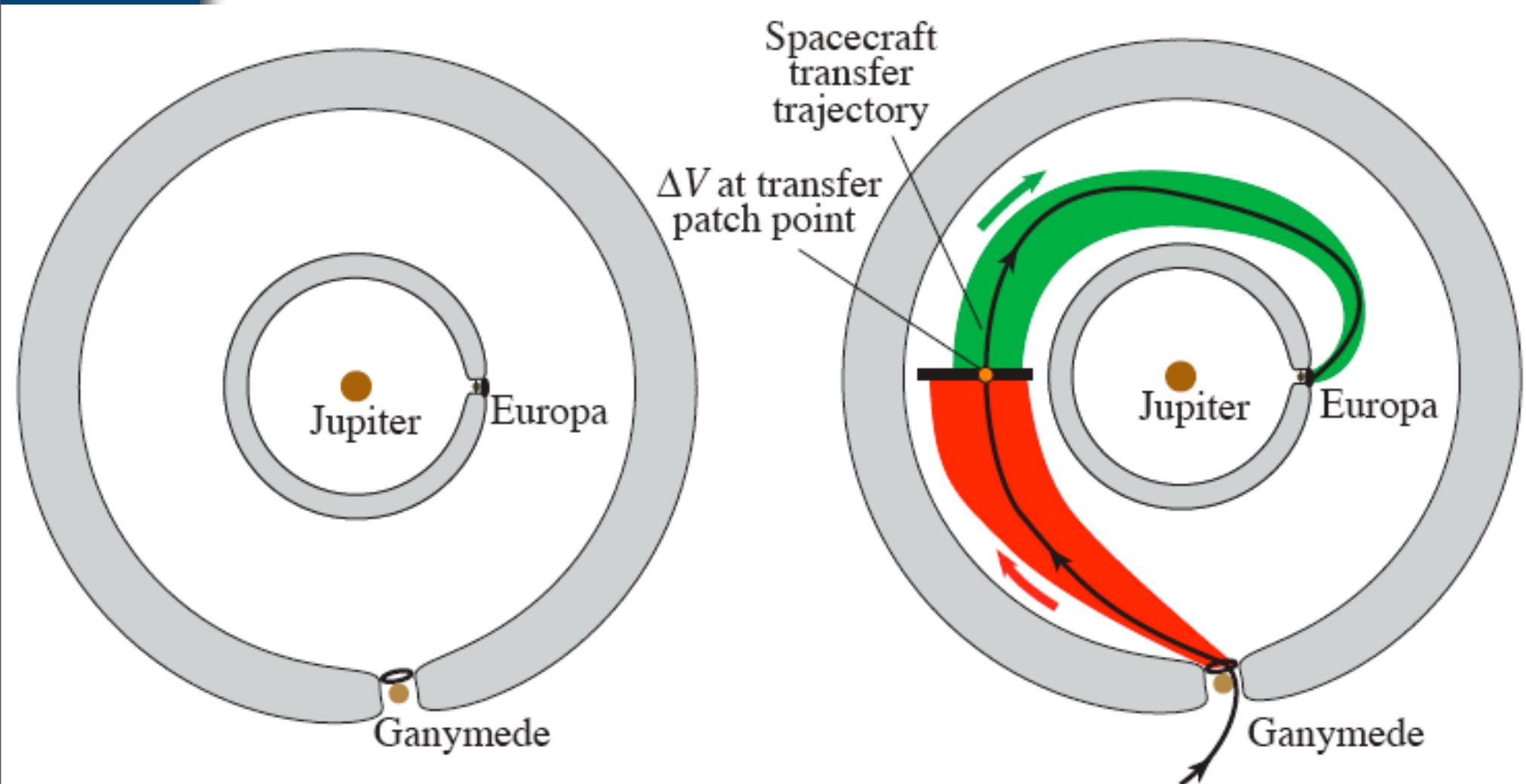
- ▶ orbite risonanti del tipo  $p:q$ ,  $pT_C = qT_J$
- ▶ la cometa orbita il Sole  $p$  volte in corrispondenza di  $q$  rivoluzioni di Giove
  
- ▶ La cometa Oterma effettua un salto di risonanza
- ▶  $2:3 \Rightarrow 3:2$
- ▶ transita attraverso le varietà stabili e instabili delle orbite di Lyapunov intorno a  $L_1$  e  $L_2$

# La tecnica delle varietà invarianti



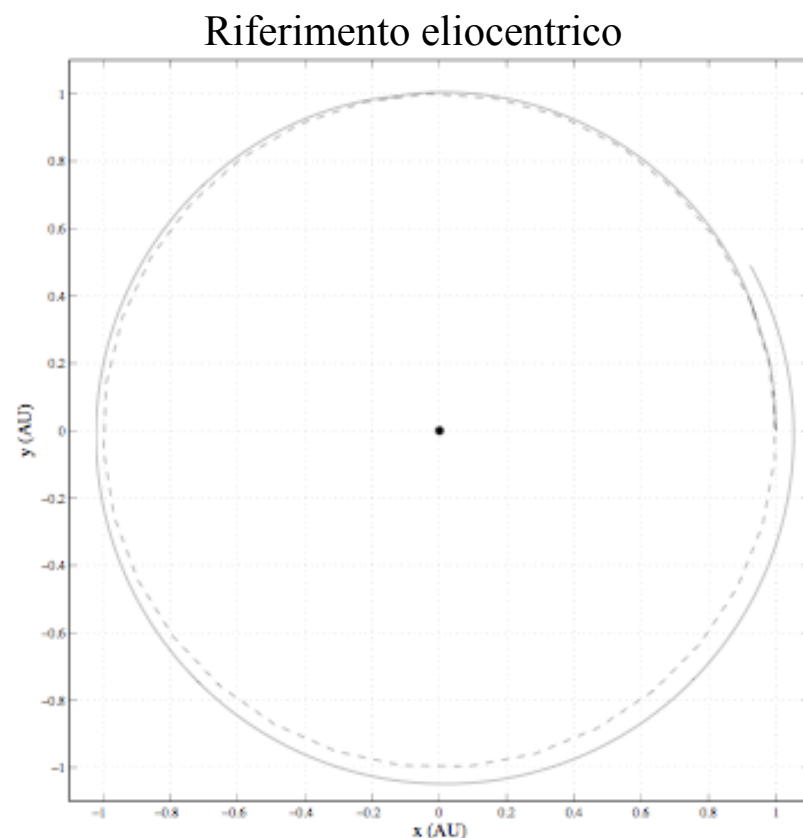
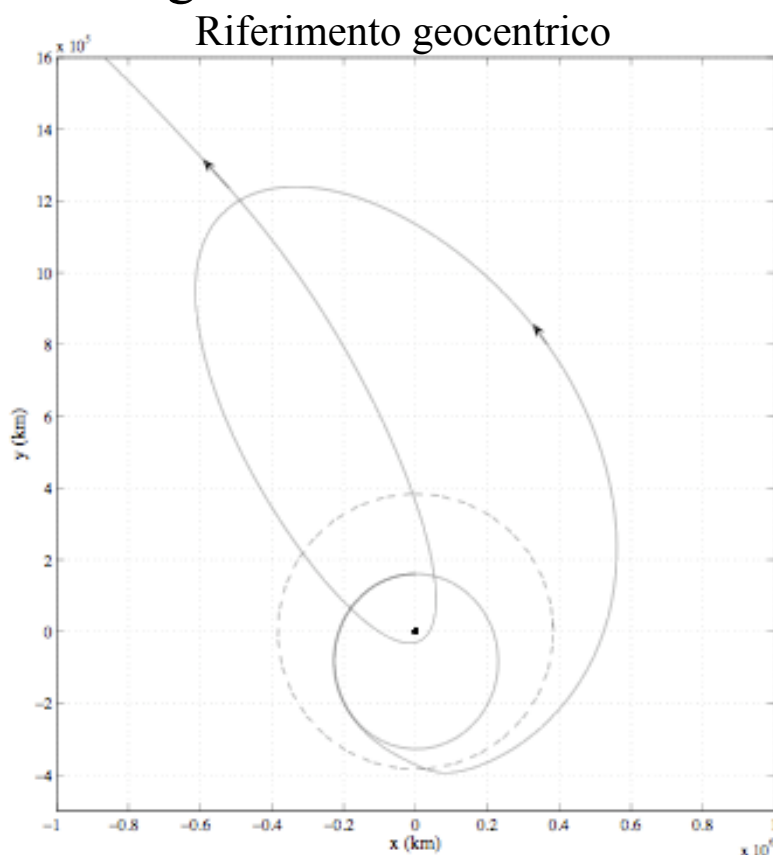
# Tour delle lune di Giove

- ▶ La tecnica delle varietà può essere usata per progettare un tour delle lune di Giove
- ▶ Esempio: tour di Ganymede e Europa



# Fuga balistica - 4 corpi

- ▶ Si tiene conto della perturbazione del Sole (problema dei quattro corpi: Sole-Terra-Luna-satellite)
- ▶ Se il satellite è inizializzato su un'orbita 2:1 risonante con la Luna, in luogo del salto di risonanza, si ha la fuga balistica: il satellite abbandona dal sistema Terra-Luna
- ▶ La fuga avviene a costo nullo



# Conclusioni

Le dinamiche a  $n$  corpi danno origine ad orbite non-Kepleriane che possono essere sfruttate per

- ▶ ottenere caratteristiche *uniche* nell'ambito di scenari innovativi
- ▶ progettare trasferimenti a basso costo per ridurre le masse di propellente
- ▶ ottenere soluzioni già rifinite pur in un contesto preliminare  
... ma ...
- ▶ tempi di trasferimento elevati
- ▶ traiettorie altamente nonlineari (dinamiche caotiche)
- ▶ mancanza di soluzioni analitiche (problemi non integrabili)

# Riferimenti ...

- V. Szebehely, *Theory of Orbits: The Restricted Problem of Three Bodies*, Academic Press Inc., 1967
- C.C. Conley, *Low Energy Transit Orbits in the Restricted Three-Body Problems*, SIAM Journal on Applied Mathematics, 1968
- R. W. Farquhar, *Lunar Communications with Libration Point Satellite*, Journal of Spacecraft and Rockets, 1967
- D.L. Richardson, *Analytic Construction of Periodic Orbits about the Collinear Points*, Celestial Mechanics and Dynamical Astronomy, 1980
- E. Belbruno and J. Miller, *Sun-Perturbed Earth-to-Moon Transfers with Ballistic Capture*, Journal of Guidance, Control and Dynamics, 1993
- R. Thurman and P. Worfolk, *The Geometry of Halo Orbits in the Circular Restricted Three-Body Problem*, Geometry Center Research Report, 1996
- K. Howell, B.T. Barden, and M.W. Lo, *Application of Dynamical System Theory to Trajectory Design for Libration Point Missions*, The Journal of the Astronautical Sciences, 1997
- W.S. Koon, M.W. Lo, J.E. Marsden, and S.D. Ross, *Heteroclinic Connections between Periodic Orbits and Resonance Transition in Celestial Mechanics*, Chaos, 2000

# ... riferimenti

- J. Schoenmaekers, D. Horas, and J.A. Pulido, *SMART-1: With Solar Electric Propulsion to the Moon*, 16<sup>th</sup> Int. Symposium on Space Flight Dynamics, 2001
- G. Gómez, J. Masdemont, and J.M. Mondelo, *Libration Point Orbits: A Survey from the Dynamical Point of View*, Libration Point Orbits and Application Conference, 2002
- E. Belbruno, *Capture Dynamics and Chaotic Motion in Celestial Mechanics*, Princeton University Press, 2004
- F. Bernelli-Zazzera, F. Topputo, and M. Massari, *Assessment of Mission Design Including Utilization of Libration Point and Weak Stability Boundaries*, ESA/ESTEC Contract, 2004
- F. Topputo, M. Vasile, and F. Bernelli Zazzera, *Low Energy Interplanetary Transfers Exploiting Invariant Manifolds of the Restricted Three-Body Problem*, The Journal of the Astronautical Sciences, 2005
- F. Topputo, M. Vasile, and F. Bernelli Zazzera, *Earth-to-Moon Low Energy Transfers Targeting  $L_1$  Hyperbolic Transit Orbits*, Annals of the New York Academy of Sciences, 2005

